

(HUANJING KEXUE)

ENVIRONMENTAL SCIENCE

第38卷 第10期

Vol.38 No.10

2017

中国科学院生态环境研究中心 主办

科学出版社出版



ENVIRONMENTAL SCIENCE

第38卷 第10期 2017年10月15日

目 次

中国城市热岛时空特征及其影响因子的分析
□□□□□□□□□□□□□□□□□□□□□□□□□□□□□□□□□□□□
□□□□□□□□□□□□□□□□□□□□□□□□□□□□□□□□□□□□
岩溶关键带微量元素运移的时空变化:以豫西鸡冠洞为例 ··· 梁沙,杨琰,张娜,孙喆,张萍,田宁,凌新有,任小敏(4130) 龟石水库夏季富营养化状况与蓝藻水华暴发特征 ····································
阿哈水库叶绿素 a 时空分布特征及其与藻类、环境因子的关系 罗宜富,李磊,李秋华,焦树林,李红梅,陈峰峰(4151) 天目湖沙河水库浮游植物群落结构的时空异质性
程海沉积物重金属时空变化及人为污染与潜在生态风险 ······· 于真真, 刘恩峰, 张恩楼, 林琪, 沈吉, 王荣, 李艳玲(4169)自然降雨条件下红壤坡地磷素随径流垂向分层输出特征 ··········· 左继超, 郑海金, 奚同行, 王凌云, 聂小飞, 刘昭(4178)邻苯二甲酸酯在三峡库区消落带非淹水期土壤中污染特征及健康风险 ············ 杨婷, 何明靖, 杨志豪, 魏世强(4187)滦河干流水体多环芳烃与有机氯农药季节性分布、组成及源解析 ····································
董政, 马玉龙, 李珺琪, 袁浩东, 金军, 王英(4212) 道路灰尘中有机磷阻燃剂污染特征及人体暴露 ········李静, 王俊霞, 许婉婷, 尚荣双, 顾海东, 温耀进, 张丽君(4220) 居民经手口途径摄入含 PAHs 颗粒物的致癌风险评价 ····································
一個大學學學學學學學學學學學學學學學學學學學學學學學學學學學學學學學學學學學學
四段式曝气对好氧颗粒污泥脱氮性能的影响
基于总量及形态的土壤重金属生态风险评价对比:以龙岩市适中镇为例
猪粪堆肥过程中金霉素去除及重金属形态变化
機生物多样性对土壤碳代谢特征的影响 吴蔓莉,陈凯丽,叶茜琼,祁燕云,徐会宁,王卓,薛鹏飞,朱常琳(4412) 微生物多样性对土壤碳代谢特征的影响 安小麦田 O3 气孔与非气孔沉降及风险评估 徐静馨,郑有飞,赵辉,储仲芳,黄积庆,袁月(4427) 中国西南酸雨区降水化学特征研究进展 周晓得,徐志方,刘文景,武瑶,赵童,蒋浩(4438) 《环境科学》征稿简则(4261) 《环境科学》征订启事(4270) 信息(4186, 4404, 4446)

成都市大气颗粒物粒径分布及水溶性离子组成的季节 变化特征

陶月乐¹, 李亲凯^{2,3}, 张俊¹, 李斯奇¹, 李晓东^{1*}

(1. 天津大学表层地球系统科学研究院, 天津 300072; 2. 中国科学院大学, 北京 100049; 3. 中国科学院地球化学研究所 环境地球化学国家重点实验室,贵阳 550081)

摘要: 利用 Anderson 冲击式分级采样器, 于 2012 年 2 月 ~ 2013 年 1 月在成都市城东成都理工大学校园内按月采集了不同粒 径的大气颗粒物样品, 分析了颗粒物样品的质量浓度以及 9 种水溶性离子含量. 结果表明, 采样期间成都市 PM。」和 PM』的 年平均浓度分别为(125.9±56.14) μg·m⁻³和(224.5±83.64) μg·m⁻³, 颗粒物浓度冬季最高, 春季次之, 秋季浓度最低; 成 都市水溶性离子浓度平均水平为 37. 15 $\mu g \cdot m^{-3}$, 其中检测的 9 种离子浓度从大到小顺序依次为 $SO_4^{2-} > NO_3^{-} > NH_4^{+} > Ca^{2+} >$ Cl⁻ > Mg²⁺ > K⁺ > Na⁺ > F⁻ , SO₄⁻ 、NO₅⁻ 和 NH₄⁺ 占总水溶性离子的 78%,是主要的离子组分. SO₄⁻ 、NO₅⁻ 、NH₄⁺ 呈单峰分 布, 其主要分布于细粒子中; Ca²⁺和 F⁻也呈单峰分布, 但是主要分布在粗粒子中; Cl⁻和 K⁺粒径分布相似, Mg²⁺和 Na⁺分 布相似, 均呈双峰分布. 成都市冬、春季节粗、细颗粒物中的水溶性离子浓度均明显高于夏、秋季节. 结合离子相关性分析, 细颗粒物中的 SO4-、NO,和 NH,可能主要以(NH4),SO4 或 NH4HSO4、NH4NO,的形式存在,而粗颗粒物中的主要离子组 分 SO4-、NO5- 和 Ca2+则可能以 Ca(NO3) ,、CaSO4 等形式存在. 主成分分析结果表明, 颗粒物中水溶性离子主要来自二次过 程、土壤扬尘、生物质燃烧和农业源.

关键词:成都;大气颗粒物;水溶性离子;粒径分布;来源

中图分类号: X513 文献标识码: A 文章编号: 0250-3301(2017)10-4034-10 **DOI**: 10.13227/j. hjkx. 201702175

Variations in Particle Size Distribution and Water-soluble Seasonal Composition of Atmospheric Particles in Chengdu

TAO Yue-le¹, LI Qin-kai^{2,3}, ZHANG Jun¹, LI Si-qi¹, LI Xiao-dong¹

(1. Institute of Surface-Earth System Science, Tianjin University, Tianjin 300072, China; 2. University of Chinese Academy of Sciences, Beijing 100049, China; 3. State Key Laboratory of Environmental Geochemistry, Institute of Geochemistry, Chinese Academy of Sciences, Guiyang 550081, China)

Abstract: Size-resolved atmospheric particles were collected monthly from February 2012 to January 2013 on the campus of Chengdu University of Technology using the Anderson multi-stage impactor sampler. The mass concentrations of these samples and the contents of nine water-soluble ion species were analyzed. The results showed that the annual average concentrations of PM2, and PM11 in Chengdu during the sampling period were (125.9 \pm 56.14) μ g·m⁻³ and (224.5 \pm 83.64) μ g·m⁻³, respectively. The highest mass concentration of particulate matter was observed in winter, followed by spring while the lowest was in autumn. The average content of water-soluble ions in particulate matter in Chengdu was about 37. 15 μg·m⁻³ and the order of water-soluble ion mass concentrations was $SO_4^{2-} > NO_3^{-} > NH_4^{+} > Ca^{2+} > Cl^{-} > Mg^{2+} > K^{+} > Na^{+} > F^{-}$. Meanwhile, SO_4^{2-} , NO_3^{-} , and NH_4^{+} were the major water-soluble ionic components that accounted for 78% of total water-soluble ions. Unimodal distribution was observed for SO₄²⁻, NO₃⁻, and NH₄⁺ mainly in fine particles, while Ca2+ and F- were concentrated in coarse particles and their distribution was also unimodal. Similar size distributions were found for Cl and K, as well as Mg, and Na, both of which were bimodal. The content of water-soluble ions in both fine and coarse particles during winter and spring was significantly higher than that in summer and autumn in Chengdu. Based on the correlation analysis for major ions, SO_4^{2-} , NO_3^{-} , and NH_4^{+} in fine particles are likely in the form of $(NH_4)_2SO_4$, NH_4HSO_4 , and NH_4NO_3 . In coarse particles, the major water-soluble ions (i. e. SO_4^{2-} , NO_3^- , and Ca^{2+}) might exist in the forms of $Ca(NO_3)_2$ and CaSO₄. The secondary formation processes, soil dust, and biomass burning are the major sources of water-soluble ion species in the particulate matter in Chengdu.

Key words: Chengdu; atmospheric particles; water-soluble ions; size distribution; source

收稿日期: 2017-02-26; 修订日期: 2017-04-29

基金项目: 国家自然科学基金项目(41173022); 中国科学院战略性先导科技专项(B类)(XDB05030305) 作者简介: 陶月乐(1993~), 女, 硕士研究生, 主要研究方向为大气颗粒物化学组成, E-mail:tyuele@163.com

^{*} 通信作者,E-mail:xiaodong.li@tju.edu.cn

大气气溶胶是指悬浮在大气中, 空气动力学直 径为 0.001~100 μm 的液体和固体微粒体系, 目前 已成为我国大部分地区大气环境的主要污染物[1], 对人体健康以及人们的生产生活, 甚至整个大气环 境空间及全球气候变化造成极大的影响. 大气颗粒 物的粒径分布和化学组成在大气颗粒物的来源、迁 移转化和去除机制等方面具有重要的指示意义. 据 相关研究, 大气颗粒物及其化学组成的粒径分布, 随季节、气候条件和大气来源的变化而变化[2,3]; 相比于粗颗粒物,细颗粒物具有更大的比表面积, 因而能吸附更多的有害物质, 其化学组成也更加复 杂,而且细粒子在大气中的停留时间远大于粗颗粒 物,因而具有更大的传输距离,对人体的危害也更 大[4]. 水溶性离子是大气颗粒物的主要化学成分之 一,约占颗粒物总质量的40%~70%.由于水溶性 离子组分的吸湿性,大气颗粒物的粒径分布及其在 大气中的停留时间都直接或间接地受到影响. 已有 研究表明,水溶性离子组分可作为大气颗粒物来源 的标识物[5];另外,深入分析水溶性离子组分的浓 度、时空和粒径分布,有助于进一步理解这些组分 的内在联系及阐明大气颗物的来源、形成规律和迁 移转化特征.

本研究采样点位于成都市成华区,该区为成都的老工业区,也是成都市大气污染的重点监测区域.已有的报道主要对大气颗粒物 TSP、PM₁₀ 和PM_{2.5}的水溶性组分进行研究,且多关注冬、夏季变化^[6-8].本工作通过长期(2012年2月~2013年1月)采集成都市城区不同粒径的大气颗粒物样品,并对颗粒物质量浓度、水溶性离子含量进行粒径和时间分布特征分析,结合对比前人的研究成果,通过揭示成都市大气颗粒物的污染特征及其来源,以期为该地区大气污染控制措施的制定提供相应的科学依据.

1 材料与方法

1.1 样品采集

本研究于 2012 年 2 月 ~ 2013 年 1 月,每月采集一组(8 个粒径段) 分级颗粒物,共得到 12 组样品.采样点位于成都理工大学校园内教学楼顶,距离地面 15 m,周边无高大建筑及障碍物遮挡.大气采样膜选用石英纤维滤膜(Pallflex型 2500QAT-UP,直径 80 mm),分级颗粒物样品的采集选用日本SIBATA公司生产的 AN-200型 Anderson冲击式颗粒物采样器,粒径分段点分别为:<0.43、0.43~

0.65、0.65~1.1、1.1~2.1、2.1~3.3、3.3~4.7、4.7~7.0 和 7.0~11 μm ; 采样流量为 28.30 $L \cdot min^{-1}$, 在每次采样前使用流量计校准. 采样前,膜托与采样器用去离子水超声清洗 3 遍,使用塑料镊子装膜、取膜;滤膜采样前后置于恒温(21℃±1℃)恒湿(40%±5%)环境中恒重 24 h,然后用百万分之一(±1 μg)电子天平(赛多利斯,德国)称量,前后质量之差即为采集到大气颗粒物的质量.

1.2 样品分析

利用陶瓷剪刀剪取 1/2 的滤膜, 进一步剪碎置 于50 mL 的烧杯中, 加入15 mL 的 Milli-Q 超纯水 进行超声清洗 3 次,每次 10 min,将清洗液倒入 50 mL 的离心管中进行高速离心 10 min, 提取上清液 并保存在冰箱(4℃)待用. 采用离子色谱仪(美国 Dionex 公司 ICS-90 型)测试洗脱液中的阴离子 (F⁻、Cl⁻、NO₃ 和 SO₄)含量, 仪器检测限为 0.02 mg·L⁻¹; 采用电感耦合等离子发射光谱仪 (ICP-OES, 美国 Varian 公司, Vista MPX 型)测试洗 脱液中的阳离子(K⁺、Na⁺、Ca²⁺和 Mg²⁺)含量, 仪器检测限为 0.005 mg·L⁻¹;采用连续流营养盐分 析仪(荷兰 SKALAR San++)测定洗脱液中 NH₄+的 含量, 仪器检测限为 0.005 mg·L-1[9]. 每测 10 个 样品加入一个标准样品,确保满足相对差异百分 比,且每一批次采样制备一个现场空白样品,样品 分析过程中的质量保证与质量控制严格按照实验室 检测技术规范执行. 以上所有测试均在中国科学院 地球化学研究所环境地球化学国家重点实验室 完成.

2 结果与讨论

2.1 颗粒物质量浓度水平和粒径分布特征

2.1.1 质量浓度水平

根据图 1 和成都市的气候状况,将 3、4 和 5 月划为春季,6、7 和 8 月划为夏季,9、10 和 11 月划为秋季,12、1 和 2 月划为冬季,以进行成都市大气颗粒物质量浓度的季节性对比分析.特别地,由于该研究中选用的采样器不存在 2.5 μm 粒径分割点,因此将 2.1 μm 作为粗、细颗粒物的分割界线,即小于 2.1 μm 的颗粒物定义为细颗粒物(PM,1).

本研究期间,成都市大气颗粒物的年际及季节分布变化特征如表 1 所示. 从年际均值来看,成都市 $PM_{2.1}$ 和 PM_{11} 的平均浓度分别为(125.9 ± 56.14) $\mu g \cdot m^{-3}$ 和(224.5 ± 83.64) $\mu g \cdot m^{-3}$,稍高于先前在成都市开展的长期研究结果[$PM_{2.5}$ 和 PM_{10} 分别为

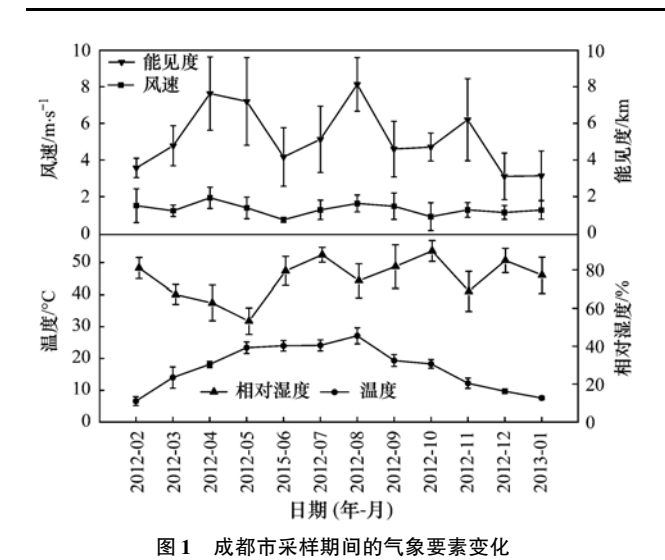


Fig. 1 Variations in meteorological factors during the sampling period

(103.15 ± 59.83) μ g·m⁻³ 和 (172.01 ± 89.8) μg·m⁻³]^[10], 且高于周边城市(如重庆、贵阳等)的 研究结果[11~14],而远高于国家颁布的《环境空气质 量标准》(GB 3095-2012)中规定的二级标准日均值 (即 PM₁₀ < 150 μg·m⁻³, PM_{2.5} < 75 μg·m⁻³), 却依 然低于我国北方部分重污染城市(如京津冀、西 安、兰州、乌鲁木齐等)的研究结果[15~20];另外, 成都市年际细粒子占比(PM,1/PM,1)为55.49%, 表明成都市所面临的大气颗粒物(尤其是细颗粒 物)污染问题相对严重. 由表1和图1可知, 成都 市冬、春季大气颗粒物污染程度整体高于夏、秋 季, 而 PM21/PM11冬季显著高于其他季节, 大气 能见度下降明显. 冬季成都市盆地地形内部极易 出现逆温现象,大气边界层低,结构稳定,极其不 利于大气污染物的扩散. 进一步分析表 1 中的数 据发现,成都市 PM21质量浓度冬季稍高于春季, 而 PM,1春季显著高于冬季, 且 PM,21/PM,1均值冬 季显著高于春季, 这表明成都市春季大气粗颗粒 物(PM,1,11)污染有所加重. 结合图 1 可知, 春季 采样期间,成都市的地面风速明显高于其他季节, 且相对湿度比其他季节低, 因此由干燥的大气环 境及增加的风速导致的地面扬尘增加可能为春季 PM,1~11污染加重的原因之一;然而有研究[21]表 明,成都市春季加重的粗粒子污染可能来源于中 国北部干旱或半干旱地区的沙尘. 夏季, 成都市 降雨增多, 大气湍流频繁, PM, 1/PM,1为四季最低 值;整体上,成都市秋季的空气质量最好,可能由 于污染排放相对较低, 加之良好的气象条件, 利 于大气污染物的扩散与清除.

表 1 颗粒物质量浓度及其比值的季节变化1)

Table 1 Seasonal variation of mass concentrations and the

ratios for size-resolved particulates					
时间	PM _{2.1}	PM_{11}	PM _{2.1} /PM ₁₁		
	$/\mu g \cdot m^{-3}$	$/\mu g \cdot m^{-3}$	/%		
春季	141.5 ± 70.23	262. 7 ± 110. 6	52. 33		
夏季	111. 5 ± 26.49	222. 9 ± 74.82	51.08		
秋季	98. 54 ± 13.54	182.0 ± 17.14	54.03		
冬季	152. $2 \pm 93. 17$	230. 3 ± 124.0	64. 54		
全年	125.9 ± 56.14	224.5 ± 83.64	55.49		

1) $PM_{2.1}$ < 0.43 μm, 0.43 ~ 0.65 μm, 0.65 ~ 1.1 μm, 1.1 ~ 2.1 μm 4 个粒径段颗粒物质量之和; PM_{11} 为全部 8 个粒径段颗粒物质量之和

2.1.2 粒径分布特征

成都市大气颗粒物年际质量浓度的粒径分布如 图 2, 在 0.65~1.1 µm 和 1.1~2.1 µm 粒径段的 颗粒物质量浓度明显高于其余几个粒径段, 且在 0.65~1.1 μm 粒径段达到峰值, 即成都市大气颗 粒物主要分布在 0.65~2.1 μm 粒径段. 不同季节, 颗粒物的粒径分布也有所不同(图3):冬季呈单峰 分布, 其余季节均呈双峰分布. 其中, 冬季峰值出 现在 0.65~1.1 μm 粒径段, 表现出相对明显的人 为源特征. 而春季期间, 颗粒物浓度峰值位于1.1 ~2.1 µm 粒径段,相比其他季节(0.65~1.1 µm) 峰值所属粒径段推后出现,而且分别于3.3~4.7 μm 和 7.0~11 μm 表现出较大值, 反映了春季期间 成都市确实受到沙尘等粗颗粒物的影响[21]. 夏、秋 季节,成都市颗粒物总体污染相对较轻,夏季颗粒 物在各粒径段浓度均稍高于秋季, 且二者浓度峰值 均分布于 0.65~1.1 µm 粒径段.

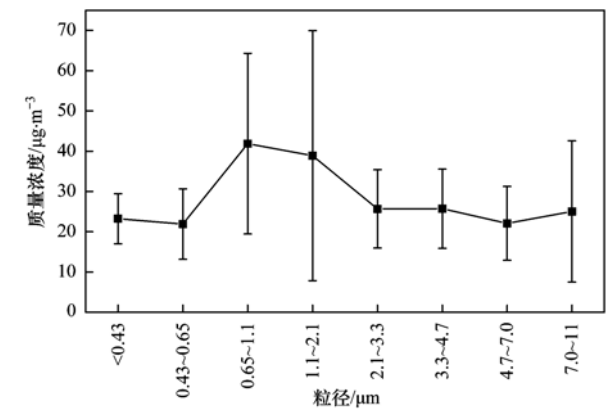


图 2 成都市大气颗粒物年际质量浓度的粒径分布特征

Fig. 2 Size distribution characteristics of atmospheric particulate annual matter concentrations

2.2 水溶性离子的分布变化特征

2.2.1 水溶性离子浓度的一般组成

采样期间,成都市颗粒物(PM_{11})中的总水溶性 离子浓度均值为 37.15 $\mu g \cdot m^{-3}$,约占 PM_{11} 质量的

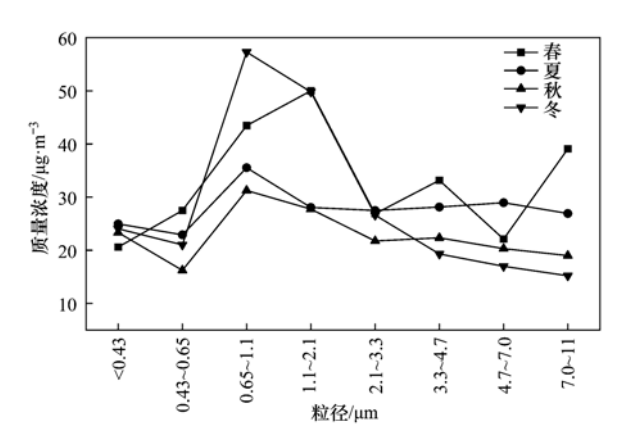


图 3 成都市大气颗粒物质量浓度的粒径与季节分布特征

Fig. 3 Seasonal variations and size distribution characteristics of atmospheric particulate mass concentrations

15.6%;各离子浓度变化从大到小依次为 $SO_4^{2-} > NO_3^- > NH_4^+ > Ca^{2+} > Cl^- > Mg^{2+} > K^+ > Na^+ > F^-,$ 其中 SO_4^{2-} 、 NO_3^- 和 NH_4^+ 约占总水溶性离子的 78%. 粗、细粒子中的水溶性离子浓度均值为 9.60 $\mu g \cdot m^{-3}$ 和 27.55 $\mu g \cdot m^{-3}$,分别占粗、细粒子质量的 9.21% 和 20.1%,即水溶性离子多富集在细粒子中,与 Huang 等 $[^{20}]$ 的研究结果一致,但在数值上远低于 Huang 等在北京地区粗、细颗粒物的水溶性离子占比,表明成都市水溶性离子污染水平相对较低.

从图 4 可以看出,成都市细粒子中的主要水溶性离子为 SO_4^{2-} 、 NO_3^- 和 NH_4^+ ,约占其总水溶性离子的 85%,其中 SO_4^{2-} 、 NO_3^- 和 NH_4^+ 分别占 48%、22%和 15%,低于北京 [22]、天津 [16]、西安 [17],高于太原 [23]等地区;而粗粒子的水溶性离子组成则以 SO_4^{2-} 、 NO_3^- 和 Ca^{2+} 为主,约占其总水溶性离子质量的 75.83%,其中 SO_4^{2-} 、 NO_3^- 和 NH_4^+ 仅占 59%,明显低于细粒子 (85%),三者占比分别为 33%、20% 和 6%,即 SO_4^{2-} 和 NH_4^+ 的占比显著降低;相比之下, Ca^{2+} 占总水溶性离子的质量分数在

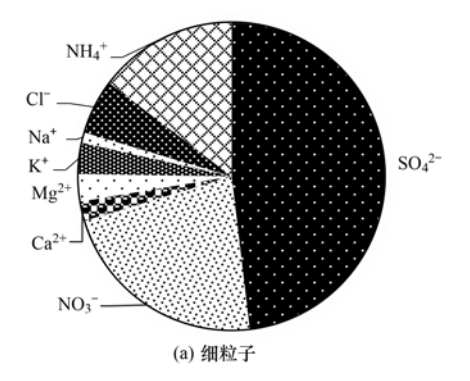
粗粒子中显著升高,达 22%.以上表明,细粒子中以 SO_4^2 、 NO_3^2 和 NH_4^* 等二次转化的水溶性离子为主,而粗粒子中来自地壳自然源污染物 (Ca^{2+} 、 Mg^{2+} 等)的贡献显著.

NO₃ 与 SO₄² 的质量浓度比值可以指示大气中移动源与固定源的相对重要性^[22]. 观测期间成都市细粒子中[NO₃⁻]/[SO₄²]年均值为 0. 49,稍高于太原 (0. 44)^[23],而低于北京 (0. 83)^[25]、天津 (0. 75)^[22],但与杨周等^[7]和陈源等^[26]在成都开展的研究结果相当,表明成都市大气颗粒物的来源仍以固定源排放为主,但随着成都市机动车拥有量的快速增加,移动源对成都市大气污染的影响不可忽视.

2.2.2 水溶性离子含量的季节变化

大气颗粒物中的水溶性离子在不同的季节分布规律不同,粗、细粒子中各离子的浓度分布如图 5 所示.

总体上,粗、细粒子中的水溶性离子含量冬、 春季均高于夏、秋季. 该研究结果与 Huang 等[20]的 研究正好相反,该差异可能与两城市不同季节的污 染来源和气象条件变化相关. 其中, 细粒子中的水 溶性离子含量冬、春季差异不大(分别为40.52 μg·m⁻³和 39.64 μg·m⁻³), 而粗粒子水溶性离子含 量冬季显著低于春季(分别为 10.05 μg·m⁻³ 和 16.87 μg·m⁻³);夏、秋季节对比,成都市大气颗粒 物中水溶性离子含量变化总是夏季大于秋季. 特别 地, SO_4^{2-} 为成都市 PM_1 中含量最高的水溶性离子, 其在春、夏、秋、冬四季的平均浓度分别为24.29、 11.77、7.20 和 22.44 μg·m⁻³, 而且在粗、细粒子 中均表现为冬、春浓度高,夏、秋浓度低.一般而 言, SO₄²⁻ 在细粒子中的形成主要包含粒子碰并、增 长及云内液相过程[27],而粗粒子中的 SO_4^{2-} 主要来 源于粗颗粒物表面发生的 SO, 非均相氧化反应^[28].



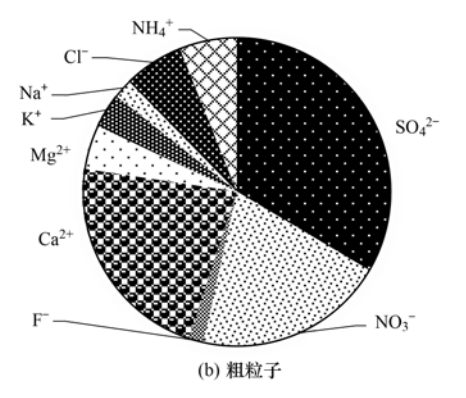


图 4 成都市粗细颗粒物中水溶性离子占比

Fig. 4 Proportion of water soluble ions in coarse and fine particles in Chengdu

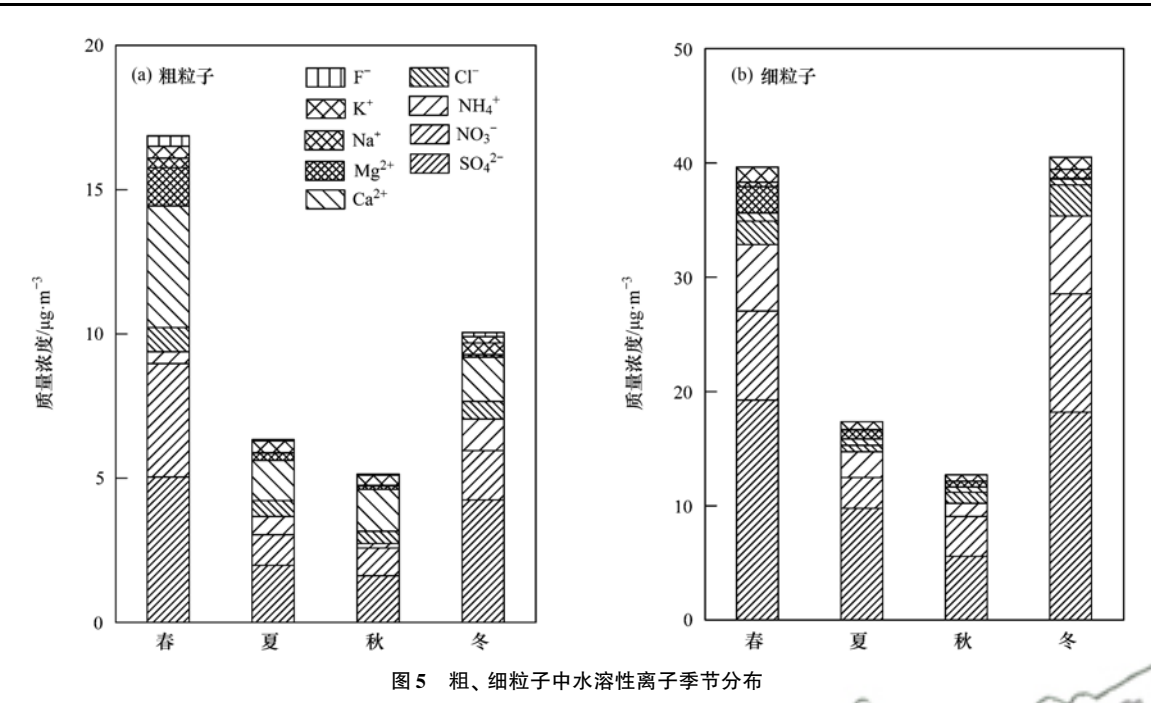


Fig. 5 Seasonal distributions of water soluble ions in coarse and fine particles

冬季,成都市温度低、湿度大,且易形成逆温层, 不利于污染物的扩散,由此引发对流层发生的一系 列均相与非均相化学反应可能导致冬季 SO²⁻ 浓度 增加; 而春季成都市大气颗粒物中较高的 SO₄ 液 度一方面可能受到来自北方干旱或半干旱地区高 SO₄²⁻ 含量沙尘的影响(粗颗粒物); 另一方面, 根 据前人的研究[29],生物质燃烧大气细颗粒物硫酸 盐重要的来源,而且观测同期[30]成都市周边发生 了秸秆等生物质燃烧活动, 因此细颗粒物中的硫酸 盐极有可能来自成都市周边生物质燃烧释放的迁 移,即可能是受到区域输送的影响(细颗粒物),以 上原因最终导致成都市硫酸盐的浓度春季最高; 另 外, 夏、秋季降水集中, 有利于 SO₂ 及 SO₄²⁻ 的扩散 与清除, 因而夏、秋季期间 SO₄-浓度相对较低. 与 SO₄-浓度的季节变化类似,成都市大气颗粒物中 的 NO; 浓度同样表现为冬、春季高于夏、秋季. 作 为大气颗粒物中重要的水溶性离子, NO; 主要是 由 NO, 经均相氧化作用产生硝酸气体[31,32], 随后 由云内吸收或冷凝到已存在的颗粒物中. 很多研究 认为颗粒物中的 NO; 主要以 NH4NO; 的形式存 在[33],因此,相比于冬、春季,夏、秋季 NO, 浓度 降低的原因可能是由于夏、秋季温度高,硝酸铵不 稳定易分解损失($NH_4NO_3 \longrightarrow NH_3 + HNO_3$), 而且 NO、极易通过夏、秋季湿沉降的方式损失. NH4 主要由其前体气体 NH3 通过气相、水相与酸性物质 (例如 H₂SO₄、HNO₃和 HCl)反应形成^[34]. NH₄ 主

要集中于细粒子,与 Zhao 等^[35]的研究结果一致,其季节分布同细粒子 SO²⁴ 和 NO₃ 表现一致,皆为冬、春季大于夏、秋季,而且细粒子中三者极为显著的相关性(表 2) 表明,NH₄ 极有可能与 SO²⁴ 和 NO₃ 结合并以 NH₄NO₃、NH₄HSO₄ 和 (NH₄)₂SO₄ 等形式存在,并受到相同的季节变化因子控制,如扩散或沉降. 相比于细颗粒物,Ca²⁺质量浓度在粗粒子中具有明显的提高,在春季尤其明显并达到峰值. 研究认为,大多数 Ca²⁺的主要来源为地壳,如土壤、建筑、道路扬尘和燃煤等^[36,37],也有研究表明成都市沙尘暴期间 Ca²⁺质量浓度显著增高^[38],且主要分布于粗粒子中. 本研究观测期间,成都市春季粗颗粒物中的高浓度的 Ca²⁺可能是由于春季风速较大导致城市扬尘或者受到沙尘天气的影响.

图 6 为粗、细粒子中的水溶性离子占比,细粒子中 SO_4^2 、 NO_3 和 NH_4^+ 的总含量占比在四季的分布均高于粗粒子,而细粒子中的 Ca^2 *含量占比在四季的分布均低于粗粒子. 这表明成都市细粒子污染可能主要来源于人为一次排放污染物(如 SO_2 、 NO_4 和 NH_3)的二次转化,而粗粒子污染则由于风沙扬尘等天气的影响.

2.2.3 水溶性离子含量的粒径分布

观测期间,成都市大气颗粒物各水溶性离子的粒径分布如图 7. 总体上, SO_4^{-1} 、 NO_3^{-1} 和 NH_4^{+1} 三者具有相似的质量浓度粒径分布图,呈单峰分布且其峰值均出现在 0.65 ~ 1.1 μ m 粒径段,即 SO_4^{2-1} 、

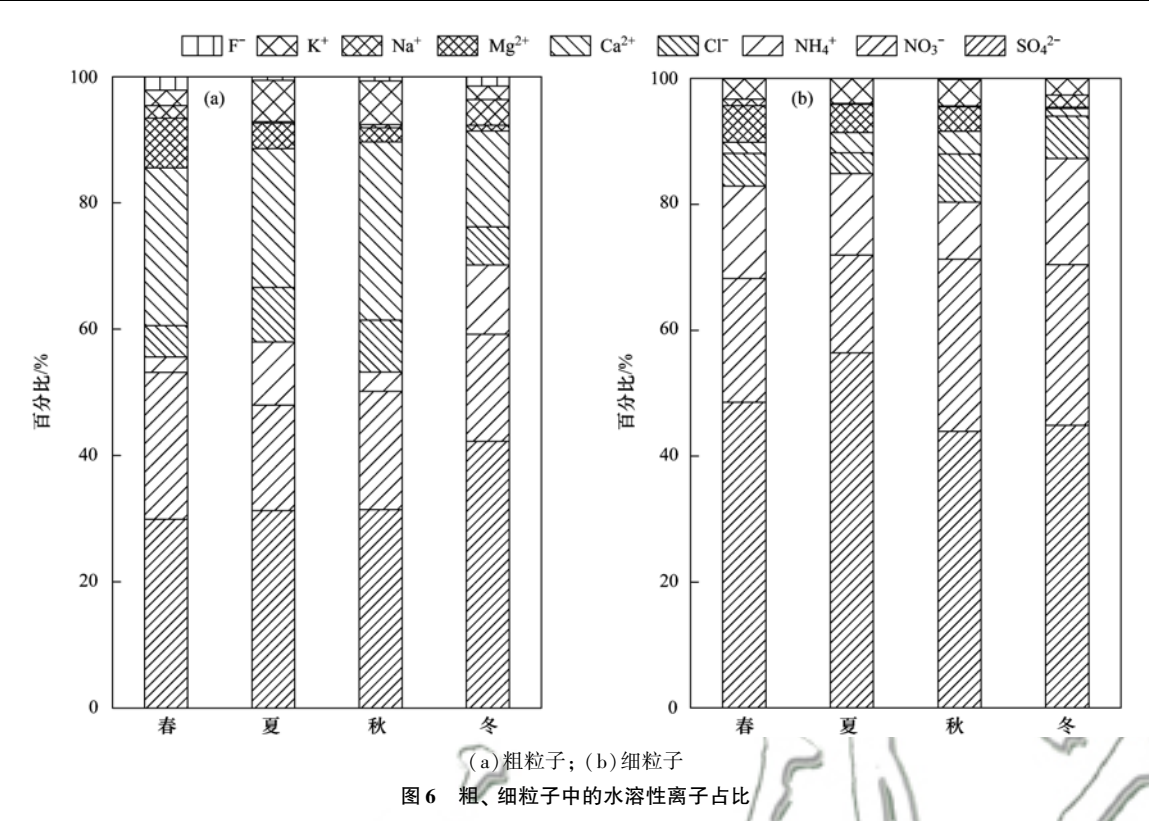


Fig. 6 Proportions of water-soluble ions in coarse and fine particles

NO₃ 和 NH₄ 主要存在于细粒子中, 而且在液滴模 态达到最高值. 这与 Huang 等[20] 在北京的研究结 果存在很大的差异,该研究 SO_4^2 、 NO_5^- 和 NH_4^+ 呈 双峰分布, 主、次峰分别位于 0.43 ~ 0.65 μm 和 4.7~5.8 μm 粒径段, 然而随着颗粒物污染和相对 湿度的加重,峰值逐步向 0.65~2.1 µm 粒径段靠 近. 本研究中, 成都市大气颗粒物中的 SO₄ 、NO₃ 和 NH; 可能主要由前体物的云内反应生成, 而气 相反应生成的凝结模态并通过碰并增长的过程也不 可忽略,这可能与成都市常年处于阴天天气及相对 湿润的环境条件密切相关[39],这是因为在相对稳 定和湿润的大气环境中, SO,、NO,、NH,等前体物 极易通过均相或非均相反应生成 SO₄²、NO₅ 和 NH4. 与此同时, 本研究采样点位于成都市成华 区,工业和交通发达,所以成都市大气颗粒物中的 SO²-、NO⁻和NH⁺可能主要来源于工业废气及汽 车尾气等一次污染物的二次转化. Ca2+和 F-也呈 单峰分布, 粒径变化趋势一致, 其峰值均出现在 3.3~4.7 μm 的粒径段, 且主要分布在粗粒子中, 表明二者可能均来自自然源,扬尘、土壤尘和建筑 粉尘等,且 Ca2+和 F-在粗粒子中相关系数较高 $(R^2 = 0.953, P < 0.001)$, 推断其可能以 CaF₂ 的形 式存在. Cl 和 K 和 K 和 经分布相似, 呈双峰分布.

Cl⁻和 K⁺作为燃烧过程的标识物^[40],主要为一次 来源, 二者同时在 0.65~1.1 µm 粒径段存在最大 峰值, 而且于 3.3~4.7 µm 粒径段存在类似峰形 表明二者极有可能具有相似的来源, 可能来源于生 物质的燃烧: Na+在细粒子中分布比例较大, 与青 岛[41]和鼎湖山地区[42]的分布相似,呈双峰分布, 峰值出现在 0.65~1.1 µm 和 3.3~4.7 µm 粒径 段, 研究表明细粒子中的 Na+主要与人为因素有 关,而粗粒子中的 Na * 主要来自自然源. Mg²⁺ 的粒 径分布与太原地区冬、春季节[43]分布相似,呈双峰 分布, 峰值出现在 0.65~1.1 μm 和 4.7~7.0 μm 粒径段, 且在粗粒子中 Ca2+和 Mg2+的相关系数为 0.889, 推断其有相似的来源, 主要来源于风沙扬 尘等. 即 Mg²⁺主要出现在细粒径段的异常高值发 生于4月和5月,根据采样记录该阶段恰逢成都市 周边秸秆等生物质的燃烧高峰期,由此推测其主要 来源于生物质燃烧释放的区域迁移[4].

2.3 水溶性离子的相关性及来源解析

2.3.1 水溶性离子的相关性

阴、阳离子在不同粒径大气颗粒物中的相关性差别较大,因此通过研究相关离子的相关性,可以初步推断不同粒径大气颗粒物中的存在形式及其来源 $^{[10]}$. 研究对粗、细粒子中各离子的相关性进行分析(表 2), SO_{4}^{2-} 与 NO_{3}^{-} 在粗、细颗粒物中均存在

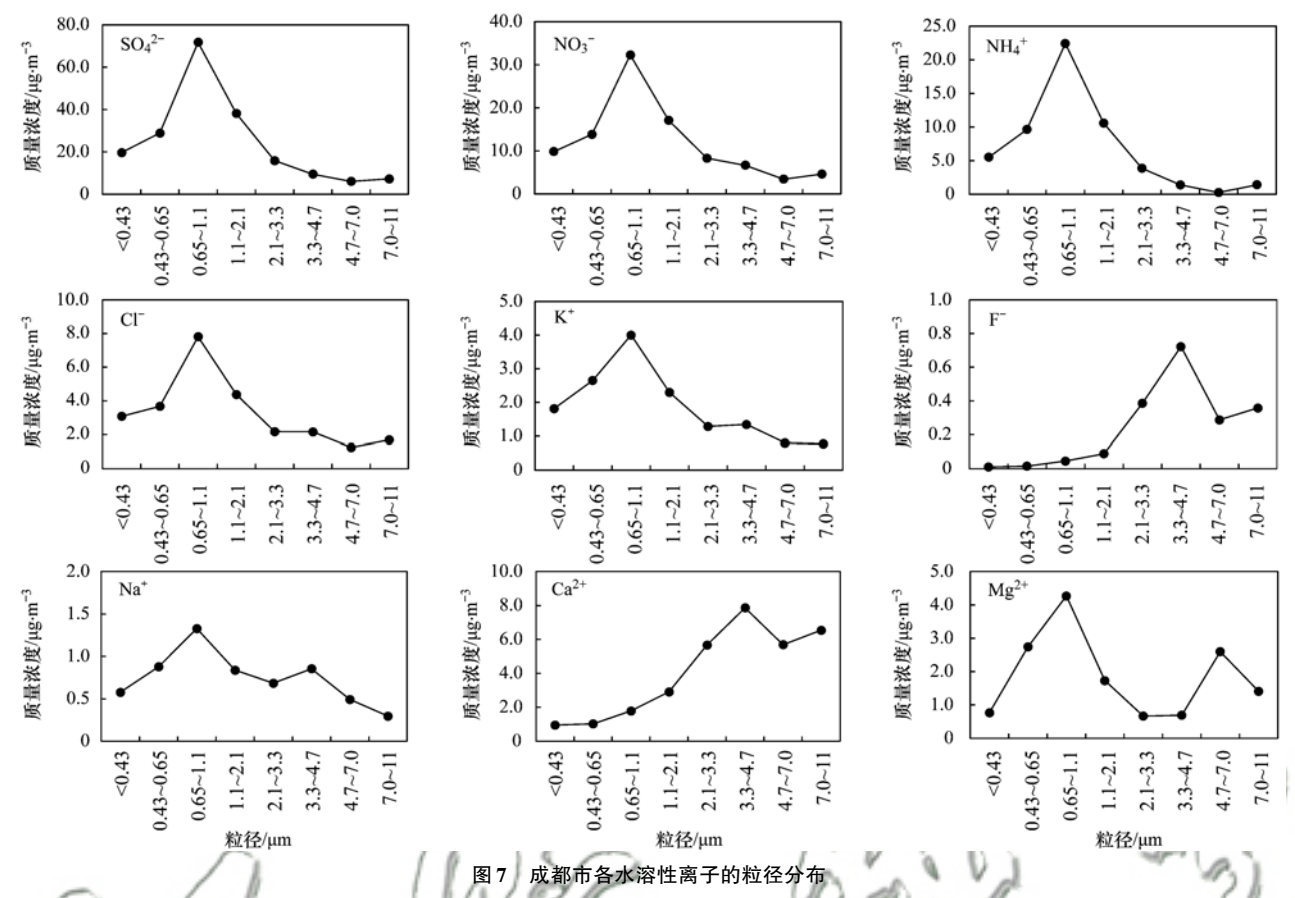


Fig. 7 Size distributions of each water soluble inorganic ions in Chengdu

表 2 粗、细粒子中离子的相关性1)

1.5	1		rabie 2 Gorreia	tions between th	e ions in coarse	e and fine parti	icies		
C- 8/1	SO ₄ -	NO ₃	CI-//) "(F-)	Ca ^{2 +}	Mg ^{2 +}	Na ⁺	K +	NH ₄ ⁺
SO ₄ -	1 1	0. 896 **	0. 756 **	0.271	0. 221	-0.082	0. 901 **	0. 925 **	0. 964 **
NO_3^-	0. 885 **	1	0. 917 **	0. 376	0. 196	-0.052	0. 940 **	0. 855 **	0. 901 **
CI = //	0. 956 **	0. 872 **	1	0. 338	0. 295	0. 244	0. 796 **	0. 808 **	0. 729 **
È.	0. 854 **	0. 967 **	0.818 **	1	0.412	-0.255	0.473	0. 358	0. 371
Ca ^{2 +}	0. 737 **	0. 957 **	0. 748 **	0. 953 **	1	0. 583 *	0.068	0. 389	0. 109
${ m Mg^{2}}$ +	0. 648 *	0. 826 **	0. 692 *	0. 857 **	0. 889 **	1	-0.313	0. 156	-0. 238
Na +	0. 898 **	0. 796 **	0. 753 **	0. 822 **	0. 664 *	0. 621 *	1	0. 825 **	0. 952 **
K +	0. 128	0. 15	0. 313	0.011	0. 137	0.03	-0.183	1	0. 888 **
NH ₄ ⁺	0. 794 **	0.463	0. 747 **	0.413	0. 228	0. 146	0. 648 *	0. 143	1

1) 左下数据为粗粒子, 右上数据为细粒子; * 为 P < 0.05, ** 为 P < 0.01

较好的相关性,其相关系数分别为 0. 885 和 0. 896,且均通过 0. 01 的显著性,结合二者的离子含量季节变化趋势,推测 $SO_4^{2^-}$ 与 NO_3^- 具有相似的形成过程或来源;细粒子中, NH_4^+ 与 $SO_4^{2^-}$ 、 NO_3^- 之间都有良好的相关性(R^2 分别为 0. 964 和 0. 901,P < 0.01),而在粗颗粒物中其相关性较差(相关系数分别为 0. 796 和 0. 463),说明这三者在细粒子中的同源性较好,且 NH_4^+ 在大气中的质量浓度变化趋势与 $SO_4^{2^-}$ 、 NO_3^- 相似,由此推测 NH_4^+ 、 $SO_4^{2^-}$ 和 NO_3^- 在细颗粒物中主要以(NH_4)₂ SO_4 或 NH_4 HSO₄、

 NH_4NO_3 的形式存在 $^{[10,45]}$; 在粗颗粒物中, Ca^{2+} 与 SO_4^{2-} 、 NO_3^{-} 之间具有良好的相关性,分别为 0.737 和 0.957,而在细颗粒物中相关性非常差 (相关系数分别为 0.221 和 0.196),说明 Ca^{2+} 、 SO_4^{2-} 和 NO_3^{-} 可能以 $Ca(NO_3)_2$ 、 $CaSO_4$ 等形式存在于粗颗粒物中,另外,在本研究中, NO_3^{-} 、 SO_4^{2-} 、 NH_4^{+} 、 Ca^{2+} 的质量占水溶性离子总质量的 85%,说明成都市大气粗颗粒物中主要的无机成分是 $Ca(NO_3)_2$ 、 $CaSO_4$,而 细颗粒物中主要是 $(NH_4)_2SO_4$ 或 NH_4HSO_4 和 NH_4NO_3 .

2.3.2 水溶性离子来源解析

本研究采用主成分分析法解析粗、细粒子中水 溶性离子的来源,应用软件 SPSS 22 对成都市粗细 颗粒物中的水溶性离子数据进行旋转因子分析, 得 到表3. 由分析结果可知, 成都地区细粒子中的水 溶性离子主要受2个因子的影响,因子1的方差贡 献率高达 67.72%, 载荷值较大的变量为 SO₄-、 NO₃、NH₄,代表了二次源对水溶性离子的贡献; 因子2的方差贡献率为19.91%,载荷值较大的变 量为 Mg2+、Ca2+, 代表了风沙扬尘和建筑尘等的贡 献,2个因子的总方差贡献率为89.67%,几乎解释 了细粒子中水溶性离子的全部来源. 与细粒子的影 响因子分析有所不同. 粗粒子主要受 3 个因子的影 响. 因子1中除了 K+和 NH, 外, 几乎涵盖了所有 离子, 方差贡献率高达69.51%. SO₄²⁻、NO₃⁻、Cl⁻、 F-、Ca2+、Mg2+的载荷值均大于0.8,代表了二次 源以及风沙扬尘对粗粒子的贡献, 在粗粒子中 SO₄²、NO₃⁻与 Mg²+、Ca²+被辨识为因子1,且在表 3 中可以看到, SO_4^{2-} 与 Ca^{2+} 和 Mg^{2+} 的相关系数分 别为 0.737, 0.648; NO₃ 与 Ca²⁺和 Mg²⁺的相关系 数分别为 0.957 和 0.826, 说明其可能以 CaSO。 MgSO₄, 或者 Ca(NO₃)₂ 与 Mg(NO₃)₂ 的形式存在; 一般认为粗颗粒物中的 SO₄ 、NO₃ 主要来自 SO₂ 或 NO, 在土壤粒子上的非均相反应[46]; 另一方面, 成都市常年为阴天且多雾, 空气湿度相对较大, 加 之相对封闭的地形, SO, 或 NO, 等污染物极易累积 和液相转化为 H,SO,或 HNO,,并可能进一步与大 气粗颗粒物中的 CaCO, 和 MgCO, 等发生非均相化 学反应, 由此导致粗粒子硫酸根、硝酸根等与钙、 镁等离子显示较好的同源性或者时间序列上的变化 趋势恰好一致[47]. 因子2的方差贡献率为 14.33%, 其中载荷值较大的变量为 NH,+, 代表了 农业活动的影响[48](化肥挥发、粪便分解等);因 子3的方差贡献率为12.32%,其中载荷值较大的 变量为 K+, 代表了生物质的燃烧对粗粒子的贡献, 3个因子的总方差贡献率为96.16%,很好地反映 了粗粒子中水溶性离子的来源.

因此,成都地区大气颗粒物中水溶性离子的可能来源分别是二次源、扬尘、生物质的燃烧以及周边郊区农业源的排放. 其中,二次源 SO_4^2 主要来源于化石燃料排放的 SO_2 的转化, NO_3 主要来源于机动车尾气排放的 NO_x 的转化,因此减轻成都市大气一次源排放,即控制燃煤的数量和质量和机动

车尾气的排放十分必要;针对成都市的扬尘和周边 地区的生物质(秸秆)燃烧,政府相关部门应积极应 对,做出正确的调控措施以平衡经济发展和公众 需求.

表 3 粗、细粒子水溶性离子主成分分析因子载荷1)

Table 3 Rotated component matrix of the principle components

analysis for water-soluble ionic compositions in coarse and fine particles					
项目	细粒子		粗粒子		
	因子 1	因子2	因子1	因子2	因子3
SO ₄ -	0. 962	-0.033	0.876	0.477	0. 033
NO_3^-	0.969	0.053	0. 981	0.046	0.072
Cl -	0.858	0.304	0.863	0.398	0. 250
F ⁻	_	_	0. 982	-0.013	-0.073
Ca ^{2 +}	0. 187	0.843	0.960	-0.219	0.078
Mg^{2+}	-0.120	0.927	0.902	-0.290	-0.015
Na +	0. 971	-0.179	0.816	0.393	-0.315
K +	0. 920	0. 274	0.072	0.062	0. 986
NH ₄ ⁺	0. 972	-0.121	0.428	0.888	0.077
方差贡献率%	67. 72	21. 91	69. 51	14. 33	12. 32

1)"一"表示在细粒子中 F - 浓度太低, 故忽略不计

3 结论

- (1)成都市大气颗粒物以细粒子为主,且细粒子浓度在冬季最高,而粗粒子浓度春季最高,夏、秋季大气颗粒物浓度相对较低,这与污染源的排放以及气象条件的变化有关.
- (2) 成都市大气颗粒物中的二次离子(SO_4^{2-} 、 NO_3^- 和 NH_4^{4-})约占总水溶性离子的 78%,且主要存在于细颗粒物中;而粗颗粒物中的水溶性离子主要为 Ca^{2+} 、 SO_4^{2-} 和 NO_3^- 占粗粒子中水溶性离子质量的 75. 83%. 离子相关性分析结果表明,细颗粒物中的 SO_4^{2-} 、 NO_3^- 和 NH_4^+ 主要以(NH_4)₂ SO_4 或 NH_4NO_3 的形式存在,而粗颗粒物中的主要离子组分 SO_4^{2-} 、 NO_3^- 和 Ca^{2+} 则以 $Ca(NO_3)_2$ 、 $CaSO_4$ 等形式存在.
- (3)综合颗粒物质量浓度,水溶性离子含量的粒径分布和季节变化特征,以及不同离子间的相关性分析和主成分分析,表明成都地区大气颗粒物主要来源是汽车尾气排放的 NO_x 和化石燃料燃烧产生的 SO₂ 的二次转化、建筑道路扬尘、生物质燃烧和农业源.

参考文献:

- [1] Zhang Y L, Cao F. Fine particulate matter (PM_{2.5}) in China at a city level[J]. Scientific Reports, 2015, 5:14884.
- [2] 徐颂,杨士弘.广州城区大气环境变化及其影响研究[J]. 上海环境科学,1998,17(6):17-20.

Xu S, Yang S H. Changes of atmospheric environment in Guangzhou proper and its effect [J]. Shanghai Environmental Sciences, 1998, 17(6): 17-20.

- [3] Kleeman M J, Cass G R. Source contributions to the size and composition distribution of urban particulate air pollution [J]. Atmospheric Environment, 1998, 32(16): 2803-2816.
- [4] Sheffield P, Roy A, Wong K, et al. Fine particulate matter pollution linked to respiratory illness in infants and increased hospital costs[J]. Health Affairs, 2011, 30(5): 871-878.
- [5] 庄马展,杨红斌,王坚,等. 厦门大气可吸入颗粒物离子成分特征研究[J]. 现代科学仪器,2006,(6):92-95.

 Zhuang M Z, Yang H B, Wang J, et al. Research on ionic characteristics of air particles in Xiamen[J]. Modern Scientific Instruments, 2006,(6):92-95.
- [6] 王淑兰, 柴发合, 张远航, 等. 成都市大气颗粒物污染特征 及其来源分析[J]. 地理科学, 2004, **24**(4): 488-492.
- [7] 杨周,李晓东,于静,等.成都市冬季不同粒径大气颗粒物水溶性无机离子的变化特征[J].生态学杂志,2013,32(3):682-688.
 - Yang Z, Li X D, Yu J, et al. Variation characteristics of water-soluble inorganic ions in size-segregated atmospheric particles in Chengdu in winter [J]. Chinese Journal of Ecology, 2013, 32 (3): 682-688.
- [8] 张彩艳, 吴建会, 张普, 等. 成都市冬季大气颗粒物组成特征及来源变化趋势[J]. 环境科学研究, 2014, **27**(7): 782-789.
 - Zhang C Y, Wu J H, Zhang P, et al. Particulate composition and source apportionment trends in winter in Chengdu [J]. Research of Environmental Sciences, 2014, 27(7): 782-789.
- [9] Xiao H Y, Liu C Q. Chemical characteristics of water-soluble components in TSP over Guiyang, SW China, 2003 [J]. Atmospheric Environment, 2004, 38(37): 6297-6306.
- [10] Tian Y Z, Wu J H, Shi G L, et al. Long-term variation of the levels, compositions and sources of size-resolved particulate matter in a megacity in China [J]. Science of the Total Environment, 2013, 463-464;462-468.
- [11] 张丹,翟崇治,周志恩,等.重庆市主城区不同粒径颗粒物水溶性无机组分特征[J].环境科学研究,2012,**25**(10):1099-1106.
 - Zhang D, Zhai C Z, Zhou Z E, et al. Characteristics of water-soluble inorganic ions in different size particles in Chongqing[J]. Research of Environmental Sciences, 2012, 25 (10): 1099-1106.
- [12] 王珍. 贵阳市大气颗粒物 PM₁₀、PM_{2.5}的来源解析研究[D]. 贵阳: 贵州师范大学, 2015.
 Wang Z. A study of the source apportionment of PM₁₀, PM_{2.5} in Guiyang[D]. Guiyang: Guizhou Normal University, 2015.
- [13] 蒋燕, 贺光艳, 罗彬, 等. 成都平原大气颗粒物中无机水溶性离子污染特征[J]. 环境科学, 2016, 37(8): 2863-2870. Jiang Y, He G Y, Luo B, et al. Pollution characteristics of inorganic water-soluble ions in atmospheric particulate matter in Chengdu plain [J]. Environmental Sciences, 2016, 37(8): 2863-2870.
- [14] 盛涛. 昆明市大气 PM₁₀和 PM_{2.5}比值特征及来源研究[D]. 昆明: 昆明理工大学, 2014.
 Sheng T. The ratio characteristics and source apportionment of PM₁₀ and PM_{2.5} in the city of Kunming[D]. Kunming: Kunming University of Science and Technology, 2014.
- [15] 刀谞, 张霖琳, 王超, 等. 京津冀冬季与夏季 PM_{2.5}/PM₁₀及 其水溶性离子组分区域性污染特征分析[J]. 环境化学,

- 2015. 34(1): 60-69.
- Dao X, Zhang L L, Wang C, *et al.* Characteristics of mass and ionic compounds of atmospheric particles in winter and summer of Beijing-Tianjin-Hebei area, China [J]. Environmental Chemistry, 2015, **34**(1): 60-69.

38 卷

- [16] 孙韧, 张文具, 董海燕, 等. 天津市 PM₁₀和 PM_{2.5}中水溶性离子化学特征及来源分析[J]. 中国环境监测, 2014, **30** (2): 145-150.
 - Sun R, Zhang W J, Dong H Y, *et al.* Chemical character and source analysis of water-soluble irons in PM₁₀ and PM_{2.5} in Tianjin city[J]. Environmental Monitoring in China, 2014, **30** (2): 145-150.
- [17] 韩月梅, 沈振兴, 曹军骥, 等. 西安市大气颗粒物中水溶性 无机离子的季节变化特征[J]. 环境化学, 2009, **28**(2): 261-266.
- [18] 刘静. 兰州市大气 PM₁₀、PM_{2.5}中水溶性离子污染特征研究 [D]. 兰州: 兰州大学, 2011. Liu J. Study on pollution characteristics of water-soluble ions
 - PM₁₀ and PM_{2.5} in Lanzhou city [D]. Lanzhou: Lanzhou University, 2011.
- [19] 亚力昆江·吐尔逊,迪丽努尔·塔力甫,阿不力克木·阿布力孜,等。乌鲁木齐市冬季大气 PM_{10-2.5}、PM_{2.5} 中水溶性无机离子的化学特征[J]. 环境工程, 2010, **28**(S1): 196-199. Tursun Y, Talip D, Abutiz A, et al. Chemical characterization of water-soluble ionic components of atmospheric PM_{10-2.5} and PM_{2.5} in winter in Urumqi [J]. Environmental Engineering, 2010, **28**(S1): 196-199.
- [20] Huang X J, Liu Z R, Zhang J K, et al. Seasonal variation and secondary formation of size-segregated aerosol water-soluble inorganic ions during pollution episodes in Beijing [J]. Atmospheric Research, 2016, 168:70-79.
- [21] Chen Y, Luo B, Xie S D. Characteristics of the long-range transport dust events in Chengdu, Southwest China [J]. Atmospheric Environment, 2015, 122:713-722.
- [22] Zhao P S, Dong F, He D, et al. Characteristics of concentrations and chemical compositions for PM_{2.5} in the region of Beijing, Tianjin, and Hebei, China [J]. Atmospheric Chemistry and Physics, 2013, 13(9): 4631-4644.
- [23] 王璐, 温天雪, 苗红妍, 等. 太原大气颗粒物中水溶性无机离子质量浓度及粒径分布特征[J]. 环境科学, 2016, 37 (9): 3249-3257.

 Wang L, Wen T X, Miao H Y, et al. Concentrations and size distributions of water-soluble inorganic ions in aerosol particles in Taiyuan, Shanxi[J]. Environmental Science, 2016, 37 (9): 3249-3257
- [24] Yao X, Chan C K, Fang M, et al. The water-soluble ionic composition of PM_{2.5} in Shanghai and Beijing, China [J]. Atmospheric Environment, 2002, 36(26): 4223-4234.
- [25] Zhang R, Jing J, Tao J, et al. Chemical characterization and source apportionment of PM_{2.5} in Beijing: seasonal perspective [J]. Atmospheric Chemistry and Physics, 2013, 13 (14): 7053-7074.
- [26] 陈源,谢绍东,罗彬.成都市大气细颗粒物组成和污染特征分析(2012—2013年)[J].环境科学学报,2016,36(3):1021-1031.
 - Chen Y, Xie S D, Luo B. Composition and pollution characteristics of fine particles in Chengdu from 2012 to 2013

- [J]. Acta Scientiae Circumstantiae, 2016, 36(3): 1021-1031.
- [27] Ocskay R, Salma I, Wang W, et al. Characterization and diurnal variation of size-resolved inorganic water-soluble ions at a rural background site [J]. Journal of Environmental Monitoring, 2006, 8(2): 300-306.
- [28] Wall S M, John W, Ondo J L. Measurement of aerosol size distributions for nitrate and major ionic species[J]. Atmospheric Environment, 1988, 22(8): 1649-1656.
- [29] Tao J, Zhang L M, Engling G, et al. Chemical composition of PM_{2.5} in an urban environment in Chengdu, China: importance of springtime dust storms and biomass burning [J]. Atmospheric Research, 2013, 122: 270-283.
- [30] Chen Y, Xie S D. Characteristics and formation mechanism of a heavy air pollution episode caused by biomass burning in Chengdu, Southwest China [J]. Science of the Total Environment, 2014, 473-474: 507-517.
- [31] Khoder M I. Atmospheric conversion of sulfur dioxide to particulate sulfate and nitrogen dioxide to particulate nitrate and gaseous nitric acid in an urban area [J]. Chemosphere, 2002, 49(6): 675-684.
- [32] Watson J G, Chow J C, Lurmann F W, et al. Ammonium nitrate, nitric acid, and ammonia equilibrium in wintertime Phoenix, Arizona [J]. Air & Waste, 1994, 44 (4): 405-412.
- [33] Guo S, Hu M, Wang Z B, et al. Size-resolved aerosol water-soluble ionic compositions in the summer of Beijing; implication of regional secondary formation [J]. Atmospheric Chemistry and Physics, 2010, 10(3): 947-959.
- [34] Zhang L, Vet R, Wiebe A, et al. Characterization of the size-segregated water-soluble inorganic ions at eight Canadian rural sites[J]. Atmospheric Chemistry and Physics, 2008, 8 (23): 7133-7151.
- [35] Zhao J P, Zhang F W, Xu Y, et al. Characterization of water-soluble inorganic ions in size-segregated aerosols in coastal city, Xiamen[J]. Atmospheric Research, 2011, 99(3-4): 546-562.
- [36] Arimoto R, Duce R A, Savoie D L, et al. Relationships among aerosol constituents from Asia and the North Pacific during PEM-West A[J]. Journal of Geophysical Research, 1996, 101 (D1): 2011-2023.
- [37] WangY, Zhuang G S, Tang A H, et al. The ion chemistry and the source of PM_{2.5} aerosol in Beijing [J]. Atmospheric Environment, 2005, **39**(21); 3771-3784.
- [38] Wang Q Y, Cao J J, Shen Z X, et al. Chemical characteristics of PM_{2.5} during dust storms and air pollution events in Chengdu, China [J]. Particuology, 2013, 11(1); 70-77.
- [39] Li X D, Yang Z, Fu P Q, et al. High abundances of dicarboxylic acids, oxocarboxylic acids, and α-dicarbonyls in fine aerosols

- (PM_{2.5}) in Chengdu, China during wintertime haze pollution [J]. Environmental Science and Pollution Research, 2015, **22** (17); 12902-12918.
- [40] Andreae M O, Andreae T W, Annegarn H, et al. Airborne studies of aerosol emissions from savanna fires in southern Africa;
 2. Aerosol chemical composition [J]. Journal of Geophysical Research, 1998, 103 (D24); 32119-32128.
- [41] 刘臻, 祁建华, 王琳, 等. 青岛大气气溶胶水溶性无机离子的粒径分布特征[J]. 中国环境科学, 2012, **32**(8): 1422-1432.
 - Liu Z, Qi J H, Wang L, et al. Particle size distribution of water-soluble inorganic ions of atmospheric aerosol in Qingdao [J]. China Environmental Science, 2012, 32(8): 1422-1432.
- [42] 刘鲁宁, 郝庆菊, 刘子锐, 等. 鼎湖山地区大气颗粒物中水溶性无机盐粒径分布特征[J]. 中国农学通报, 2010, **26** (17): 357-361.
 - Liu L N, Hao Q J, Liu Z R, et al. Size distributions of water soluble ions of atmosphere in the mountain Dinghu[J]. Chinese Agricultural Science Bulletin, 2010, 26(17): 357-361.
- [43] 曹润芳, 闫雨龙, 郭利利, 等. 太原市大气颗粒物粒径和水溶性离子分布特征[J]. 环境科学, 2016, **37**(6): 2034-2040.
 - Cao R F, Yan Y L, Guo L L, et al. Distribution characteristics of water-soluble ions in size-segregated particulate matters in Taiyuan [J]. Environmental Science, 2016, 37 (6): 2034-2040.
- [44] 瞿群,杨毅红,宋丹林,等.成都典型秸秆燃烧季节PM_{2.5}中 化学成分研究[J].气候与环境研究,2016,21(4):439-448.
 - Qu Q, Yang Y H, Song D L, et al. Chemical characterization of PM_{2,5} at urban Chengdu during the typical biomass burning season [J]. Climatic and Environmental Research, 2016, 21 (4): 439-448.
- [45] Đorđević D, Mihajlidi-Zelić A, Relić D, et al. Size-segregated mass concentration and water soluble inorganic ions in an urban aerosol of the Central Balkans (Belgrade) [J]. Atmospheric Environment, 2012, 46: 309-317.
- [46] Zhuang H, Chan C K, Fang M, et al. Formation of nitrate and non-sea-salt sulfate on coarse particles [J]. Atmospheric Environment, 1999, 33(26): 4223-4233.
- [47] Pakkanen T A, Kerminen V M, Hillamo R E, et al. Distribution of nitrate over sea-salt and soil derived particles-Implications from a field study [J]. Journal of Atmospheric Chemistry, 1996, 24 (2):189-205.
- [48] Harrison R M, Pio C A. Major ion composition and chemical associations of inorganic atmospheric aerosols[J]. Environmental Science & Technology, 1983, 17(3): 169-174.

HUANJING KEXUE

Environmental Science (monthly)

Vol. 38 No. 10 Oct. 15, 2017

CONTENTS

Correlation Analysis of the Urban Heat Island Effect and Its Impact Factors in China	
Application of Satellite Remote Sensing in NO _* Emission Control	
Control Models and Effect Evaluation of Air Pollution in Jing-Jin-Ji Urban Agglomeration	
Pollution Characteristics of Aerosol Number Concentration in Winter and Spring in a Northern Suburb of Nanjing	
Source Apportionment and Size Distribution of Aerosols at Lin'an Atmosphere Regional Background Station During Winter	
Seasonal Variations in Particle Size Distribution and Water-soluble Ion Composition of Atmospheric Particles in Chengdu	
Seasonal Variation and Source Apportionment of Water-Soluble Ions in PM _{2,5} in Quanzhou City	
Chemical Characteristics and Sources of Heavy Metals in Fine Particles in Beijing in 2011-2012	
Pollution Assessment and Source Analysis of Metals in PM _{2,5} in Haicang District, Xiamen City, China	
Characteristics and Health Risk Assessment of Metallic Elements in PM _{2.5} Fraction of Road Dust	• • • • • • • • • • • • • • • • • • • •
Seasonal Variations in PM ₁₀ and Associated Chemical Species in Jiuxian Mountain in Fujian Province	
Characteristics of C2-C6 Hydrocarbons During the Winter Air Pollution Period in Beijing Urban Area	
Analysis of Atmospheric Particulate Matter Pollution Characteristics by LIDAR in Beijing During Spring Festival, 2016	
Influence Factors and Sensitivity of Ozone Formation in Langfang in the Summer	
Impact of Human Activities on Water-Rock Interactions in Surface Water of Lijiang River	
Distinguishing the Properties and Sources of the Dissolved Organic Matter in Karst Reservoir Water During Winter Using Three-Din	
Study in Wulixia Reservoir of Guangxi Province	
Analysis of Temporal and Spatial Variations in Trace Element Migration in Karst Critical Zone: An Example of Jiguan Cave, Henan	
Eutrophication and Characteristics of Cyanobacteria Bloom in the Summer in Guishi Reservoir	
Spatial and Temporal Distribution of Chlorophyll a and Its Relationship to Algae and Environmental Factors in Aha Reservoir	
Spatio-temporal Variations in Phytoplankton Community in Shahe Reservoir, Tianmuhu, China	
Spatio-temporal Variations, Contamination and Potential Ecological Risk of Heavy Metals in the Sediments of Chenghai Lake	YU Zhen-zhen, LIU En-feng, ZHANG En-lou, et al. (4169)
Characteristics of Phosphorus Output Through Runoff on a Red Soil Slope Under Natural Rainfall Conditions	
Occurrence, Distribution and Health Risk of the Phthalate Esters in Riparian Soil in the Fluctuating Zone of the Three Gorges Rese	ervoir
	YANG Ting, HE Ming-jing, YANG Zhi-hao, et al. (4187)
Seasonal Distribution, Composition, and Source Apportionment of Polycyclic Aromatic Hydrocarbons and Organochlorine Pesticides	
	·· WANG Yi-zhen, ZHANG Shi-lu, KONG Fan-qing, et al. (4194)
Occurrence and Human Exposure Risk Assessment of Organophosphate Esters in Drinking Water in the Weifang Binhai Economic-T	Fechnological Development Area · · · · · · · · · · · · · · · · · · ·
	DONG Zheng, MA Yu-long, LI Jun-qi, et al. (4212)
Contamination Characteristics and Human Exposure to Organophosphate Flame Retardants in Road Dust from Suzhou City	LI Jing, WANG Jun-xia, XU Wan-ting, et al. (4220)
Cancer Risk of Human Intake of PAH-Contaminated Particles Based on Hand-to-Mouth Activities	TONG Rui-peng, YANG Xiao-yi, ZHANG Lei, et al. (4228)
Spatio-temporal Evolution of Groundwater Vulnerability Based on Spatial Autocorrelation	· LIU Yu, LAN Shuang-shuang, ZHANG Yong-xiang, et al. (4236)
Preparation of Ag-AgI/CN/MA Composites and Their Visible-light Photocatalytic Performance	ZHANG Sai, ZHANG Li-li, HU Chun (4245)
Effect of Eichhornia crassipes on Ammoxidation and Denitrification Microorganisms in Eutrophic Freshwaters	LI Jie, JIANG Li-juan, WANG Xiao-lin, et al. (4253)
Utilization of Copper (II) Wastewater for Enhancing the Treatment of Chromium (VI) Wastewater in Microbial Fuel Cells	···· XIONG Xiao-min, WU Xia-yuan, JIA Hong-hua, et al. (4262)
Efficiency and Microecology of a Soil Infiltration System with High Hydraulic Loading for the Treatment of Swine Wastewater	SU Cheng-yuan, LIU Fan-fan, ZHONG Yu, et al. (4271)
Effects of Bacteria on the Growth of and Lipid Accumulation in Chlorella pyrenoidosa Cultivated in Municipal Wastewater	
Enhanced Antibiotic Resistant Bacteria Removal from Wastewater Treatment Plant by Different Disinfection Technologies	
Coking Wastewater Treatment Efficiency and Comparison of Acute Toxicity Characteristics of the AnMBR-A-MBR and A ² -MBR Pro	
Stability of the CANON Process Based on Real-Time Control Technologies	
Improving Nitrogen and Phosphorus Removal from Reclaimed Water Using a Novel Sulfur/Iron Composite Filler	
Start-up and Capacity Enhancement of a Partial Nitrification Pilot Reactor in Continuous Flow	
Quick Start-up Performance of Combined ANAMMOX Reactor Based on Different Inoculated Sludge Types	
Effect of Two-Stage Aeration on Nitrogen Removal Performance of Aerobic Granular Sludge	
Construction of a High Efficiency Anaerobic Digestion System for Vinegar Residue	
Comparision of Ecological Risk Assessment Based on the Total Amount and Speciation Distribution of Heavy Metals in Soil; A Case	
companies of the troughter than the control of th	
Heavy Metal Contamination of Soils and Crops near a Zinc Smelter · · · · · · · · · · · · · · · · · · ·	
Characteristics and Influencing Factors of CH ₄ Emissions from the Drawdown Area of the Three Gorges Reservoir	
Effects of Plastic Film Mulching on Nitrous Oxide Emissions from a Vegetable Field	
Effects of Bamboo Biochar on Greenhouse Gas Emissions During the Municipal Sludge Composting Process	
Removal of Cd from Soil by Aspergillus fumigatus in a Semi-solid Culture	
Removal of Chlortetracycline and Morphological Changes in Heavy Metals in Swine Manure Using the Composting Process Remediation of Petroleum-Contaminated Soil Using a Bioaugmented Compost Technique	
Effects of Microbial Diversity on Soil Carbon Mineralization	
Ozone Deposition and Risk Assessment for a Winter Wheat Field; Partitioning Between Stomatal and Non-stomatal Pathways	
Progress in the Studies of Precipitation Chemistry in Acid Rain Areas of Southwest China	······· ZHOU Alao-de, AU Zhi-fang, LIU Wen-jing, et al. (4438)